

Navier–Stokes

○
○
○
○○

Différences finies

○○○○
○○
○○
○○

Eléments finis

○
○○
○
○○○○

Découplage $v-p$

○○
○○○○

Références

○

Méthodes de discréétisation en fluides

10. Equations de Stokes stationnaires

Marc A. Habisreutinger

Ecole Polytechnique Fédérale de Lausanne
Section de génie mécanique, CH-1015 Lausanne

Jeudi 2 mai 2024

Navier–Stokes

○
○
○
○
○○

Différences finies

○○○○
○○
○○
○○

Eléments finis

○
○○
○
○○○○

Découplage $v-p$

○○
○○○○

Références

○

Contenu

Equations de Navier–Stokes

- Formulation dimensionnelle
- Formulations adimensionnelles
- Niveau de pression
- Limite de Stokes

Méthode des différences finies

- Opérateurs de dérivation discrets
- Discrétisation colocalive
- Pression parasite
- Discrétisation décalée

Méthode des éléments finis

- Formulation intégrale
- Formulation faible
- Discrétisation
- Pression parasite

Découplage vitesse-pression

- Méthode directe d'Uzawa
- Solveur Itératif de Poisson (PISO)

Références

Equations de Navier-Stokes

Formulation dimensionnelle

On considère les équations de Navier-Stokes

$$\rho \left(\underbrace{\partial_t \mathbf{v} + \mathbf{v} \cdot \nabla \mathbf{v}}_{\left[\frac{\rho V}{T} \right]} \right) = - \underbrace{\nabla p}_{\left[\frac{P}{L} \right]} + \mu \underbrace{\nabla^2 \mathbf{v}}_{\left[\frac{\mu V^2}{L^2} \right]} + \underbrace{\rho \mathbf{g}}_{\left[\frac{\rho V}{T} \right]}$$

$$\underbrace{\nabla \cdot \mathbf{v}}_{\left[\frac{V}{L} \right]} = 0$$

$\mathbf{x} = L \hat{\mathbf{x}}$
 $t = T \hat{t}$
 $\mathbf{v} = V \hat{\mathbf{v}}$
 $p = P \hat{p}$

En utilisant les variables adimensionnelles, on a

$$\left(\frac{\rho V}{T} \right) \partial_t \hat{\mathbf{v}} + \left(\frac{\rho V^2}{L} \right) \hat{\mathbf{v}} \cdot \hat{\nabla} \hat{\mathbf{v}} = - \left(\frac{P}{L} \right) \hat{\nabla} \hat{p} + \left(\frac{\mu V}{L^2} \right) \hat{\nabla}^2 \hat{\mathbf{v}} + \left(\frac{\rho V}{T} \right) \hat{\mathbf{g}}$$

$$\left(\frac{V}{L} \right) \hat{\nabla} \cdot \hat{\mathbf{v}} = 0$$

Equations de Navier-Stokes

Formulations adimensionnelles

- avec le temps d'advection $T = \frac{L}{V}$, on obtient

$$\partial_t \hat{\mathbf{v}} + \hat{\mathbf{v}} \cdot \hat{\nabla} \hat{\mathbf{v}} = -\hat{\nabla} \hat{p} + \text{Re}^{-1} \hat{\nabla}^2 \hat{\mathbf{v}} + \hat{\mathbf{g}}$$

$$\hat{\nabla} \cdot \hat{\mathbf{v}} = 0$$

- avec le temps de diffusion $T = \frac{\rho L^2}{\mu}$, on obtient

$$\partial_t \hat{\mathbf{v}} + \text{Re} \hat{\mathbf{v}} \cdot \hat{\nabla} \hat{\mathbf{v}} = -\hat{\nabla} \hat{p} + \hat{\nabla}^2 \hat{\mathbf{v}} + \hat{\mathbf{g}}$$

$$\hat{\nabla} \cdot \hat{\mathbf{v}} = 0$$

où le nombre de Reynolds

$$\boxed{\text{Re} = \frac{\rho V L}{\mu}}$$

Equations de Navier–Stokes

Niveau de pression

On définit le noyau du gradient

$$\ker(\nabla) = \{f : \Omega \rightarrow \mathbb{R} \mid \nabla f = \mathbf{0}\} = \{\text{const}\}$$

Soit (v, p) une solution des équations de Navier–Stokes. Cette solution n'est pas affectée par toute perturbation de pression $p' \in \ker(\nabla)$. En effet,

$$\rho(\partial_t v + v \cdot \nabla v) = -\nabla(p + \underbrace{p'}_{= \text{const}}) + \mu \nabla^2 v + \rho g$$

La pression peut ainsi subir des perturbations dans le noyau du gradient sans affecter la vitesse. Elle est ainsi définie à une constante près.

Équations de Navier–Stokes

Limite de Stokes

A la limite $\text{Re} \rightarrow 0$, on peut négliger le terme d'advection. On obtient ainsi les équations de Stokes

$$\begin{aligned}\rho \partial_t \mathbf{v} - \mu \nabla^2 \mathbf{v} &= -\nabla p + \rho \mathbf{g} \\ \nabla \cdot \mathbf{v} &= 0\end{aligned}$$

Dans le cas stationnaire, elles se réduisent à

$$\begin{aligned}-\mu \nabla^2 \mathbf{v} &= -\nabla p + \rho \mathbf{g} \\ \nabla \cdot \mathbf{v} &= 0\end{aligned}$$

Equations de Navier–Stokes

Limite de Stokes

$$\begin{aligned}-\mu \nabla^2 \mathbf{v} &= -\nabla p + \rho \mathbf{g} \\ \nabla \cdot \mathbf{v} &= 0\end{aligned}$$

ce qui s'écrit explicitement sous la forme

$$-\mu \left(\frac{\partial^2 v_x}{\partial x^2} + \frac{\partial^2 v_x}{\partial y^2} \right) = -\frac{\partial p}{\partial x} + \rho g_x$$

$$-\mu \left(\frac{\partial^2 v_y}{\partial x^2} + \frac{\partial^2 v_y}{\partial y^2} \right) = -\frac{\partial p}{\partial y} + \rho g_y$$

$$\frac{\partial v_x}{\partial x} + \frac{\partial v_y}{\partial y} = 0$$

Différences finies

Opérateurs de dérivation discrets - Dérivée première selon x , schéma centré

- Série de Taylor

$$U_{i+1,j} = U_{ij} + \frac{h_x}{1!} \left. \frac{\partial u}{\partial x} \right|_{x_{ij}} + \frac{h_x^2}{2!} \left. \frac{\partial^2 u}{\partial x^2} \right|_{x_{ij}} + \frac{h_x^3}{3!} \left. \frac{\partial^3 u}{\partial x^3} \right|_{x_{ij}} \pm \mathcal{O}(h_x^4)$$

$$U_{i-1,j} = U_{ij} - \frac{h_x}{1!} \left. \frac{\partial u}{\partial x} \right|_{x_{ij}} + \frac{h_x^2}{2!} \left. \frac{\partial^2 u}{\partial x^2} \right|_{x_{ij}} - \frac{h_x^3}{3!} \left. \frac{\partial^3 u}{\partial x^3} \right|_{x_{ij}} \pm \mathcal{O}(h_x^4)$$

- Différence des deux séries

$$\left. \frac{\partial u}{\partial x} \right|_{x_{ij}} = \frac{U_{i+1,j} - U_{i-1,j}}{2h_x} - \underbrace{\frac{h_x^2}{3!} \left. \frac{\partial^3 u}{\partial x^3} \right|_{x_{ij}}}_{\epsilon = \mathcal{O}(h_x^2)} \pm \mathcal{O}(h_x^4)$$

Différences finies

Opérateurs de dérivation discrets - Dérivée première selon y , schéma centré

- Série de Taylor

$$U_{i,j+1} = U_{ij} + \frac{h_y}{1!} \left. \frac{\partial u}{\partial y} \right|_{x_{ij}} + \frac{h_y^2}{2!} \left. \frac{\partial^2 u}{\partial y^2} \right|_{x_{ij}} + \frac{h_y^3}{3!} \left. \frac{\partial^3 u}{\partial y^3} \right|_{x_{ij}} \pm \mathcal{O}(h_y^4)$$

$$U_{i,j-1} = U_{ij} - \frac{h_y}{1!} \left. \frac{\partial u}{\partial y} \right|_{x_{ij}} + \frac{h_y^2}{2!} \left. \frac{\partial^2 u}{\partial y^2} \right|_{x_{ij}} - \frac{h_y^3}{3!} \left. \frac{\partial^3 u}{\partial y^3} \right|_{x_{ij}} \pm \mathcal{O}(h_y^4)$$

- Différence des deux séries

$$\left. \frac{\partial u}{\partial y} \right|_{x_{ij}} = \underbrace{\frac{U_{i,j+1} - U_{i,j-1}}{2h_y} - \frac{h_y^2}{3!} \left. \frac{\partial^3 u}{\partial y^3} \right|_{x_{ij}}}_{\epsilon = \mathcal{O}(h_y^2)} \pm \mathcal{O}(h_y^4)$$

Différences finies

Opérateurs de dérivation discrets - Dérivée seconde selon x , schéma centré

- Série de Taylor

$$U_{i+1,j} = U_{ij} + \frac{h_x}{1!} \left. \frac{\partial u}{\partial x} \right|_{x_{ij}} + \frac{h_x^2}{2!} \left. \frac{\partial^2 u}{\partial x^2} \right|_{x_{ij}} + \frac{h_x^3}{3!} \left. \frac{\partial^3 u}{\partial x^3} \right|_{x_{ij}} \pm \mathcal{O}(h_x^4)$$

$$U_{i-1,j} = U_{ij} - \frac{h_x}{1!} \left. \frac{\partial u}{\partial x} \right|_{x_{ij}} + \frac{h_x^2}{2!} \left. \frac{\partial^2 u}{\partial x^2} \right|_{x_{ij}} - \frac{h_x^3}{3!} \left. \frac{\partial^3 u}{\partial x^3} \right|_{x_{ij}} \pm \mathcal{O}(h_x^4)$$

- Somme des deux séries

$$\left. \frac{\partial^2 u}{\partial x^2} \right|_{x_{ij}} = \frac{U_{i+1,j} - 2U_{ij} + U_{i-1,j}}{h_x^2} - \underbrace{\frac{2h_x^2}{4!} \left. \frac{\partial^4 u}{\partial x^4} \right|_{x_{ij}}}_{\epsilon = \mathcal{O}(h_x^2)} \pm \mathcal{O}(h_x^4)$$

Différences finies

Opérateurs de dérivation discrets - Dérivée seconde selon y , schéma centré

- Série de Taylor

$$U_{i,j+1} = U_{ij} + \frac{h_y}{1!} \left. \frac{\partial u}{\partial y} \right|_{x_{ij}} + \frac{h_y^2}{2!} \left. \frac{\partial^2 u}{\partial y^2} \right|_{x_{ij}} + \frac{h_y^3}{3!} \left. \frac{\partial^3 u}{\partial y^3} \right|_{x_{ij}} \pm \mathcal{O}(h_y^4)$$

$$U_{i,j-1} = U_{ij} - \frac{h_y}{1!} \left. \frac{\partial u}{\partial y} \right|_{x_{ij}} + \frac{h_y^2}{2!} \left. \frac{\partial^2 u}{\partial y^2} \right|_{x_{ij}} - \frac{h_y^3}{3!} \left. \frac{\partial^3 u}{\partial y^3} \right|_{x_{ij}} \pm \mathcal{O}(h_y^4)$$

- Somme des deux séries

$$\left. \frac{\partial^2 u}{\partial y^2} \right|_{x_{ij}} = \frac{U_{i,j+1} - 2U_{ij} + U_{i,j-1}}{h_y^2} - \underbrace{\frac{2h_y^2}{4!} \left. \frac{\partial^4 u}{\partial y^4} \right|_{x_{ij}}}_{\epsilon = \mathcal{O}(h_y^2)} \pm \mathcal{O}(h_y^4)$$

Navier-Stokes

○
○
○
○○

Différences finies

○○○○
●○
○○
○○

Eléments finis

○
○○
○
○○○○

Découplage $v-p$

○○
○○○○

Références

○

Différences finies

Discrétisation colocative

$$-\mu \left(\frac{\partial^2 v_x}{\partial x^2} + \frac{\partial^2 v_x}{\partial y^2} \right) = -\frac{\partial p}{\partial x} + \rho g_x$$

$$-\mu \left(\frac{\partial^2 v_y}{\partial x^2} + \frac{\partial^2 v_y}{\partial y^2} \right) = -\frac{\partial p}{\partial y} + \rho g_y$$

$$\frac{\partial v_x}{\partial x} + \frac{\partial v_y}{\partial y} = 0$$

En utilisant ces approximations, les équations de Stokes stationnaires deviennent

$$-\mu \left(\frac{V_{x,i+1,j} - 2V_{x,ij} + V_{x,i-1,j}}{h_x^2} + \frac{V_{x,i,j+1} - 2V_{x,ij} + V_{x,i,j-1}}{h_y^2} \right) = -\frac{P_{i+1,j} - P_{i-1,j}}{2h_x} + \rho G_{x,ij}$$

$$-\mu \left(\frac{V_{y,i+1,j} - 2V_{y,ij} + V_{y,i-1,j}}{h_y^2} + \frac{V_{y,i,j+1} - 2V_{y,ij} + V_{y,i,j-1}}{h_x^2} \right) = -\frac{P_{i,j+1} - P_{i,j-1}}{2h_y} + \rho G_{y,ij}$$

$$\frac{V_{x,i+1,j} - V_{x,i-1,j}}{2h_x} + \frac{V_{y,i,j+1} - V_{y,i,j-1}}{2h_y} = 0$$

ce qui s'écrit sous la forme matricielle

$$\mathbf{A}\mathbf{v}_x = -\mathbf{D}_x \mathbf{p} + \mathbf{M}\mathbf{g}_x$$

$$\mathbf{A}\mathbf{v}_y = -\mathbf{D}_y \mathbf{p} + \mathbf{M}\mathbf{g}_y$$

$$\mathbf{D}_x \mathbf{v}_x + \mathbf{D}_y \mathbf{v}_y = \mathbf{0}$$

Navier-Stokes

○ ○○○
 ○ ●
 ○ ○
 ○○

Différences finies

○○○○
 ○●
 ○○
 ○○

Eléments finis

○
 ○○
 ○
 ○○○○

Découplage $v-p$

○○
 ○○○○

Références

○

Différences finies

Discrétisation colocative

$$-\mu \left(\frac{\partial^2 v_x}{\partial x^2} + \frac{\partial^2 v_x}{\partial y^2} \right) = -\frac{\partial p}{\partial x} + \rho g_x$$

$$-\mu \left(\frac{\partial^2 v_y}{\partial x^2} + \frac{\partial^2 v_y}{\partial y^2} \right) = -\frac{\partial p}{\partial y} + \rho g_y$$

$$\frac{\partial v_x}{\partial x} + \frac{\partial v_y}{\partial y} = 0$$

et de manière équivalente

$$\begin{pmatrix} \mathbf{A} & \mathbf{0} & \mathbf{D}_x \\ \mathbf{0} & \mathbf{A} & \mathbf{D}_y \\ \mathbf{D}_x & \mathbf{D}_y & \mathbf{0} \end{pmatrix} \begin{pmatrix} \mathbf{v}_x \\ \mathbf{v}_y \\ \mathbf{p} \end{pmatrix} = \begin{pmatrix} \mathbf{Mg}_x \\ \mathbf{Mg}_y \\ \mathbf{0} \end{pmatrix}$$

Puis, en définissant l'opérateur gradient discret $\mathbf{G} = (\mathbf{D}_x \ \mathbf{D}_y)^T$, on a

$$\begin{pmatrix} \mathbf{A} & \mathbf{G} \\ \mathbf{D} & \mathbf{0} \end{pmatrix} \begin{pmatrix} \mathbf{v} \\ \mathbf{p} \end{pmatrix} = \begin{pmatrix} \mathbf{Mg} \\ \mathbf{0} \end{pmatrix}$$

avec $\mathbf{D} = \mathbf{G}^T$ et $\mathbf{v} = (\mathbf{v}_x \ \mathbf{v}_y)^T$

Différences finies

Pression parasite

On définit le noyau du gradient discret

$$\ker(\mathbf{G}) = \{\mathbf{f} \in \mathbb{R}^P \mid \mathbf{G}\mathbf{f} = \mathbf{0}\} \neq \{\text{const}\}$$

Soit (\mathbf{v}, \mathbf{p}) une solution des équations de Stokes discrètes. Cette solution n'est pas affectée par toute perturbation de pression $\mathbf{p}' \in \ker(\mathbf{G})$. En effet,

$$\begin{pmatrix} \mathbf{A} & \mathbf{G} \\ \mathbf{D} & \mathbf{0} \end{pmatrix} \begin{pmatrix} \mathbf{v} \\ \mathbf{p} + \mathbf{p}' \end{pmatrix} = \begin{pmatrix} \mathbf{Mg} \\ \mathbf{0} \end{pmatrix}$$

La pression peut ainsi subir des perturbations dans le noyau du gradient discret sans affecter la vitesse

Navier-Stokes

○
○
○
○○

Différences finies

○○○○
○○○
○●○
○○

Eléments finis

○
○○
○
○○○○Découplage $v-p$ ○○
○○○○

Références

○

Différences finies

Pression parasite

On considère la perturbation de pression parasite \mathbf{p}' en échiquier telle que

$$P'_{ij} = \begin{cases} +1, & i+j \text{ pair} \\ -1, & i+j \text{ impair} \end{cases}$$

Pour un noeud x_{ij} pair (+) ou impair (-), on a

$$P'_{ij,x} = \frac{P'_{i+1,j} - P'_{i-1,j}}{2h_x} = \pm \frac{1-1}{2h_x} = 0, \quad \forall i, j$$

$$P'_{ij,y} = \frac{P'_{i,j+1} - P'_{i,j-1}}{2h_y} = \pm \frac{1-1}{2h_y} = 0, \quad \forall i, j$$

On a ainsi

$\mathbf{p}' \in \ker(\mathbf{G}), \quad \mathbf{p}' \neq \text{const}$

Navier–Stokes

○
○
○
○○

Différences finies

○○○○
○○○
○○○
●○

Eléments finis

○
○○
○
○○○○

Découplage $v-p$

○○
○○○○

Références

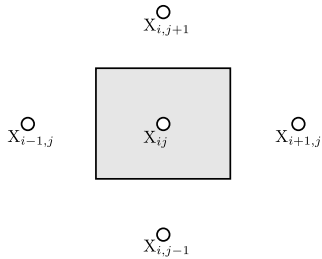
○

Différences finies

Discrétisation décalée

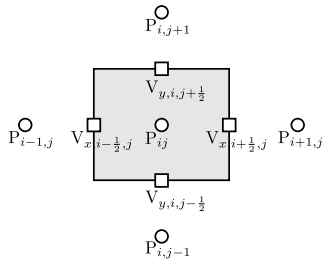
Discrétisation collocative

Vitesses et pression exprimées aux mêmes noeuds



Discrétisation décalée

Chaque variable (v_x , v_y et p) a ses propres noeuds



Navier-Stokes

○	○○○○
○	○○
○	○○
○○	○●

Différences finies

○○○○
○○
○○
○●

Eléments finis

○
○○
○
○○○○

Découplage $v-p$

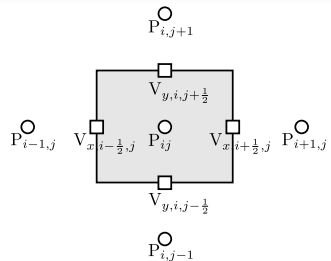
○○
○○○○

Références

○

Différences finies

Discretisation décalée



- La grille décalée permet de supprimer le mode de pression parasite en échiquier
- Il est difficile d'utiliser cette approche pour des géométries complexes

Eléments finis

Formulation intégrale

$$\begin{aligned} -\mu \nabla^2 \mathbf{v} + \nabla p &= \rho \mathbf{g} \\ \nabla \cdot \mathbf{v} &= 0 \end{aligned}$$

Les équations de Stokes stationnaires peuvent s'écrire en termes de contraintes

$$\begin{aligned} -\nabla \cdot (\underbrace{-pI + \mu(\nabla \mathbf{v} + \nabla \mathbf{v}^T)}_{= \boldsymbol{\tau}}) &= \rho \mathbf{g} \\ \nabla \cdot \mathbf{v} &= 0 \end{aligned}$$

Sous forme intégrale, ceci s'écrit

$$\begin{aligned} - \int_{\Omega} \nabla \cdot \boldsymbol{\sigma} \cdot \mathbf{w} \, dV &= \int_{\Omega} \rho \mathbf{g} \cdot \mathbf{w} \, dV, \quad \forall \mathbf{w} \in L^2(\Omega) \\ \int_{\Omega} \nabla \cdot \mathbf{v} \cdot q \, dV &= 0, \quad \forall q \in L^2(\Omega) \end{aligned}$$

Navier–Stokes

○
○
○
○○

Différences finies

○○○○
○○○
○○○
○○○

Eléments finis

○
●○
○
○○○○

Découplage $v-p$

○○
○○○○

Références

○

Eléments finis

Formulation faible

$$\begin{aligned}-\nabla \cdot \sigma &= \rho g \\ \nabla \cdot v &= 0\end{aligned}$$

$$\int_{\Omega} (\nabla \cdot F) \cdot g + F \cdot \nabla g \, dV = \int_{\partial\Omega} (F \cdot n) \cdot g \, dS$$

En partant de la formulation intégrale en termes de contraintes,
l'intégration par parties donne

$$\begin{aligned}\int_{\Omega} \sigma \cdot \nabla w \, dV - \int_{\partial\Omega} \sigma \cdot n \cdot w \, dS &= \int_{\Omega} \rho g \cdot w \, dV, \quad \forall w \in H^1(\Omega) \\ \int_{\Omega} q \cdot \nabla \cdot v \, dV &= 0, \quad \forall q \in L^2(\Omega)\end{aligned}$$

Les conditions aux limites naturelles expriment ainsi l'annulation des
contraintes au bord du domaine

$$\boxed{\sigma \cdot n = 0}$$

Navier–Stokes

○
○
○
○○

Différences finies

○○○○
○○○
○○○
○○○

Eléments finis

○
○●
○
○○○○

Découplage $v-p$

○○
○○○○

Références

○

Eléments finis

Formulation faible

$$\begin{aligned} -\mu \nabla^2 \mathbf{v} + \nabla p &= \rho \mathbf{g} \\ \nabla \cdot \mathbf{v} &= 0 \end{aligned}$$

En considérant des conditions aux limites naturelles ou de Dirichlet, on a

$$\begin{aligned} \int_{\Omega} \mu(\nabla \mathbf{v} + \nabla \mathbf{v}^T) \cdot \nabla \mathbf{w} \, dV - \int_{\Omega} p \cdot \nabla \cdot \mathbf{w} \, dV &= \int_{\Omega} \rho \mathbf{g} \cdot \mathbf{w} \, dV, \quad \forall \mathbf{w} \in H^1(\Omega) \\ - \int_{\Omega} q \cdot \nabla \cdot \mathbf{v} \, dV &= 0, \quad \forall q \in L^2(\Omega) \end{aligned}$$

ce qui peut s'écrire sous la forme

$$\mathcal{A}(\mathbf{v}, \mathbf{w}) + \mathcal{D}(p, \mathbf{w}) = \mathcal{F}(\mathbf{w}), \quad \forall \mathbf{w} \in H^1(\Omega)$$

$$\mathcal{D}(q, \mathbf{v}) = 0, \quad \forall q \in L^2(\Omega)$$

Eléments finis

Discrétisation

On considère l'approximation de la formulation faible

$$\begin{aligned} \mathcal{A}(\mathbf{v}_h, \mathbf{w}_h) + \mathcal{D}(p_h, \mathbf{w}_h) &= \mathcal{F}(\mathbf{w}_h), \quad \forall \mathbf{w}_h \in W_h \subset H^1(\Omega) \\ \mathcal{D}(q_h, \mathbf{v}_h) &= 0, \quad \forall q_h \in Q_h \subset L^2(\Omega) \end{aligned}$$

avec la méthode de Galerkin, c'est-à-dire avec

$$v_{k,h} = \sum_{j=1}^{n_v} v_{k,j} \phi_j^{(v)}(\mathbf{x}) \quad p_h = \sum_{j=1}^{n_p} p_j \phi_j^{(p)}(\mathbf{x})$$

$$w_{k,h} = \sum_{i=1}^{n_v} w_{k,i} \phi_i^{(v)}(\mathbf{x}) \quad q_h = \sum_{i=1}^{n_p} q_i \phi_i^{(p)}(\mathbf{x})$$

Navier-Stokes

○
○
○
○○

Différences finies

○○○○
○○
○○
○○

Eléments finis

○
○○
○
●○○○Découplage $v-p$ ○○
○○○○

Références

○

Eléments finis

Pression parasite

En analysant les degrés polynomiaux de chaque terme, on a

$$\int_{\Omega} \underbrace{\mu(\nabla \mathbf{v}_h + \nabla \mathbf{v}_h^T) \cdot \nabla \mathbf{w}_h}_{(n_v-1)^2}^{n_v-1} dV - \int_{\Omega} \underbrace{p_h \cdot \nabla \cdot \mathbf{w}_h}_{n_p(n_v-1)}^{n_v-1} dV = \int_{\Omega} \underbrace{\rho \mathbf{g}_h \cdot \mathbf{w}_h}_{n_v^2}^{n_v} dV$$

$$- \int_{\Omega} \underbrace{q_h \cdot \nabla \cdot \mathbf{v}_h}_{n_p(n_v-1)}^{n_v-1} dV = 0$$

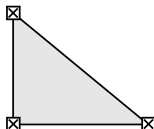
Pour éviter l'apparition de modes de pression parasites, on choisit

$$n_p = n_v - 1$$

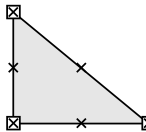
On assure ainsi la compatibilité des degrés polynomiaux pour tous les termes.

Eléments finis

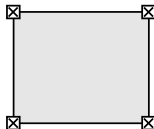
Pression parasite



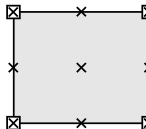
Elément fini $P1-P1$



Elément fini mixte $P2-P1$



Elément fini $Q1-Q1$



Elément fini mixte $Q2-Q1$

□ : pression, × : vitesses

Navier-Stokes

○
○
○
○○

Différences finies

○○○○
○○
○○
○○

Eléments finis

○
○○
○
○○●○

Découplage $v-p$

○○
○○○○

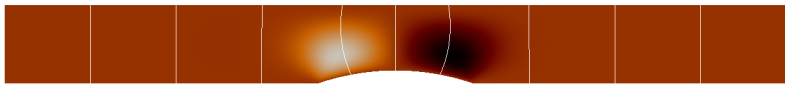
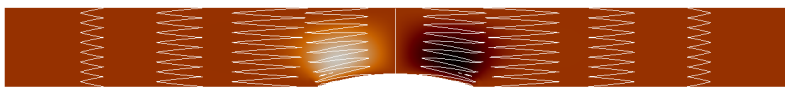
Références

○

Eléments finis Pression parasite

Eléments finis Q1-Q1

présence de modes de pression parasites



aucun mode de pression parasite

Eléments finis mixtes Q2-Q1

Navier–Stokes

○
○
○
○○

Différences finies

○○○○
○○
○○
○○

Eléments finis

○
○○
○
○○●

Découplage $v-p$

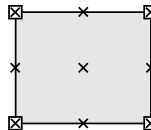
○○
○○○○

Références

○

Eléments finis

Pression parasite



- Les éléments finis vérifiant la condition $n_p = n_v - 1$ permettent de supprimer le mode de pression parasite
- On peut naturellement utiliser cette approche pour des géométries complexes

Navier-Stokes

Différences finies

Eléments finis

Découplage \mathbf{v} - p

Références

Découplage vitesse-pression

$$\mathbf{A}\mathbf{v} + \mathbf{G}\mathbf{p} = \mathbf{Mg}$$

$$\mathbf{D}\mathbf{v} = \mathbf{0}$$

Méthode directe d'Uzawa

En multipliant les équations de quantité de mouvement par $\mathbf{D}\mathbf{A}^{-1}$, on obtient une équation pour la pression

$$\underbrace{\mathbf{D}\overbrace{\mathbf{A}^{-1}\mathbf{A}}^{= \mathbf{I}}\mathbf{v}}_{= \mathbf{0}} + \underbrace{\mathbf{D}\overbrace{\mathbf{A}^{-1}\mathbf{G}}^{\equiv \mathbf{S}}\mathbf{p}}_{\equiv \mathbf{v}^*} = \underbrace{\mathbf{D}\overbrace{\mathbf{A}^{-1}\mathbf{M}}^{\equiv \mathbf{v}^*}\mathbf{g}}$$

On peut écrire ces équations sous la forme triangulaire supérieure

$$\begin{pmatrix} \mathbf{A} & \mathbf{G} & \mathbf{0} \\ \mathbf{0} & \mathbf{S} & -\mathbf{D} \\ \mathbf{0} & \mathbf{0} & \mathbf{A} \end{pmatrix} \begin{pmatrix} \mathbf{v} \\ \mathbf{p} \\ \mathbf{v}^* \end{pmatrix} = \begin{pmatrix} \mathbf{Mg} \\ \mathbf{0} \\ \mathbf{Mg} \end{pmatrix}$$

Navier-Stokes

○
○
○
○○

Différences finies

○○○○
○○○
○○○
○○○

Eléments finis

○
○○
○
○○○○

Découplage $v-p$

○●
○○○○

Références

○

Découplage $v-p$

Méthode directe d'Uzawa

$$\begin{pmatrix} \mathbf{A} & \mathbf{G} & \mathbf{0} \\ \mathbf{0} & \mathbf{S} & -\mathbf{D} \\ \mathbf{0} & \mathbf{0} & \mathbf{A} \end{pmatrix} \begin{pmatrix} \mathbf{v} \\ \mathbf{p} \\ \mathbf{v}^* \end{pmatrix} = \begin{pmatrix} \mathbf{Mg} \\ \mathbf{0} \\ \mathbf{Mg} \end{pmatrix}$$

La substitution inverse pour ce système donne la méthode d'Uzawa

$$\mathbf{Av}^* = \mathbf{Mg}$$

$$\mathbf{Sp} = \mathbf{Dv}^*$$

$$\mathbf{Av} = \mathbf{Mg} - \mathbf{Gp}$$

avec l'opérateur d'Uzawa donné par

$$\boxed{\mathbf{S} = \mathbf{DA}^{-1}\mathbf{G}}$$

- Méthode trop couteuse car elle requiert le calcul de \mathbf{A}^{-1}
- Méthode non-utilisée en pratique mais qui sert à la compréhension d'autres méthodes utilisées dans le cas instationnaire

Navier-Stokes

○
○
○
○○

Différences finies

○○○○
○○○○
○○○○
○○○○

Eléments finis

○
○○
○
○○○○

Découplage $v-p$

○○
●○○○

Références

○

Découplage $v-p$

Solveur Itératif de Poisson (PISO)

$$-\mu \nabla^2 v = -\nabla p + \rho g$$

$$\nabla \cdot v = 0$$

Sous forme indicelle, les équations de quantité de mouvement s'écrivent

$$-\mu \frac{\partial^2 v_i}{\partial x_k \partial x_k} = -\frac{\partial p}{\partial x_i} + \rho g_i$$

En prenant la divergence, on obtient

$$-\frac{\partial^2 p}{\partial x_i \partial x_i} + \rho \frac{\partial g_i}{\partial x_i} = -\mu \frac{\partial}{\partial x_i} \frac{\partial^2 v_i}{\partial x_k \partial x_k} = -\mu \underbrace{\frac{\partial^2}{\partial x_k \partial x_k}}_{\nabla \cdot v = 0} \underbrace{\frac{\partial v_i}{\partial x_i}}_{\nabla \cdot v = 0} = 0$$

c'est-à-dire

$$\boxed{\nabla^2 p = \nabla \cdot (\rho g)}$$

dont la résolution requiert l'introduction de conditions aux limites.

Navier-Stokes

○
○
○
○○

Différences finies

○○○○
○○
○○
○○

Eléments finis

○
○○
○
○○○○

Découplage \mathbf{v} - p

○○
●○○○

Références

○

Découplage \mathbf{v} - p

Solveur Itératif de Poisson (PISO)

$$-\mu \nabla^2 \mathbf{v} = -\nabla p + \rho \mathbf{g}$$

$$\nabla \cdot \mathbf{v} = 0$$

En passant sous forme intégrale, on obtient la relation

$$\int_{\Omega} \underbrace{\nabla \cdot \nabla p}_{= \nabla^2 p} \cdot w \, dV = \int_{\Omega} \nabla \cdot (\rho \mathbf{g}) \cdot w \, dV$$

dont l'intégration par parties donne la forme faible

$$-\int_{\Omega} \nabla p \cdot \nabla w \, dV + \int_{\partial\Omega} \nabla p \cdot \mathbf{n} \cdot w \, dS = \int_{\Omega} \nabla \cdot (\rho \mathbf{g}) \cdot w \, dV$$

En projectant l'équation de quantité de mouvement selon \mathbf{n} , il vient

$$\nabla p \cdot \mathbf{n} = (\mu \nabla^2 \mathbf{v} + \rho \mathbf{g}) \cdot \mathbf{n}$$

Découplage vitesse-pression

Solveur Itératif de Poisson (PISO)

Etant donné $(\mathbf{v}^{(0)}, p^{(0)})$, résoudre itérativement

- l'équation de Poisson pour $p^{(k+1)}$

$$\begin{cases} \nabla^2 p^{(k+1)} = \nabla \cdot (\rho \mathbf{g}) & \text{sur } \Omega \\ \nabla p^{(k+1)} \cdot \mathbf{n} = (\mu \nabla^2 \mathbf{v}^{(k)} + \rho \mathbf{g}) \cdot \mathbf{n} & \text{sur } \partial\Omega \end{cases}$$

- puis l'équation de Poisson pour $\mathbf{v}^{(k+1)}$

$$\begin{cases} -\mu \nabla^2 \mathbf{v}^{(k+1)} = -\nabla p^{(k+1)} + \rho \mathbf{g} & \text{sur } \Omega \\ \text{C.L. pour } \mathbf{v}^{(k+1)} & \text{sur } \partial\Omega \end{cases}$$

Découplage vitesse-pression

Solveur Itératif de Poisson (PISO)

Les critères d'arrêt de l'algorithme itératif étant

- Nombre d'itérations

$$k \geq M$$

où M est un nombre d'itérations maximal fixé

- Convergence

$$\int_{\Omega} (\mu \nabla^2 \mathbf{v}_h^{(k)} - \nabla p_h^{(k)} + \rho \mathbf{g}_h) \cdot \mathbf{w}_h \, dV \leq \tau \quad \forall \mathbf{w}_h$$

$$\int_{\Omega} \nabla \cdot \mathbf{v}_h^{(k)} \cdot q_h \, dV \leq \tau \quad \forall q_h$$

où τ est une tolérance fixée

Références

- *High-Order Methods for Incompressible Fluid Flow*, M.O. Deville, P.F. Fischer, E.H. Mund, Cambridge University Press, 2002
- *Modélisation numérique en science et génie des matériaux*, M. Rappaz, M. Bellet, M. Deville, Presses Polytechniques Universitaires Romandes, 1999
- *Eléments finis pour les fluides incompressibles*, M. Azaiez, M. Deville, E. Mund, Presses Polytechniques Universitaires Romandes, 2011